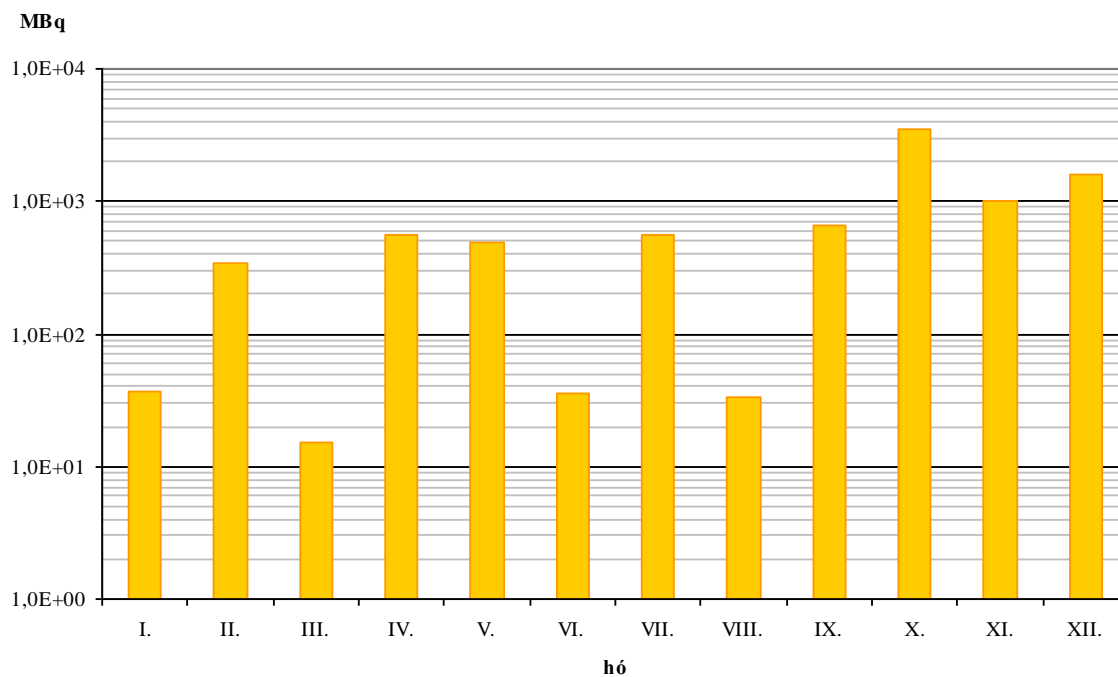
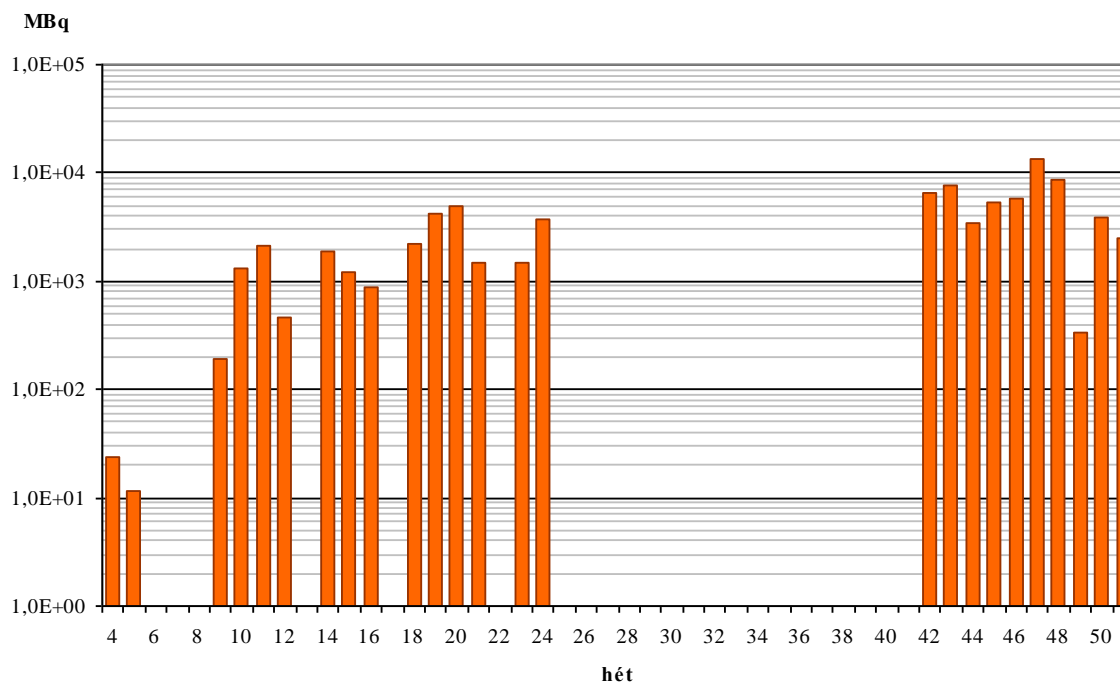
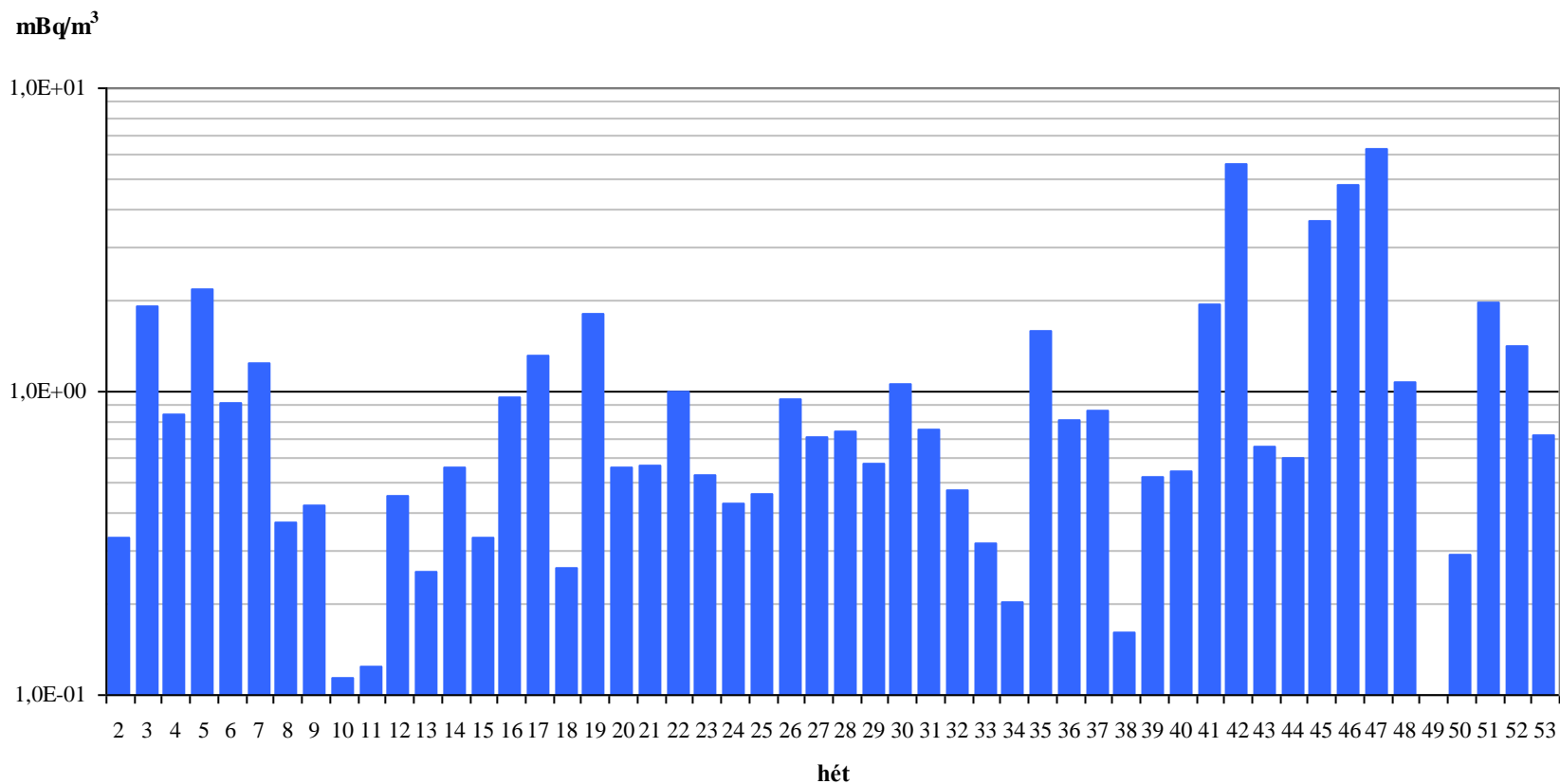


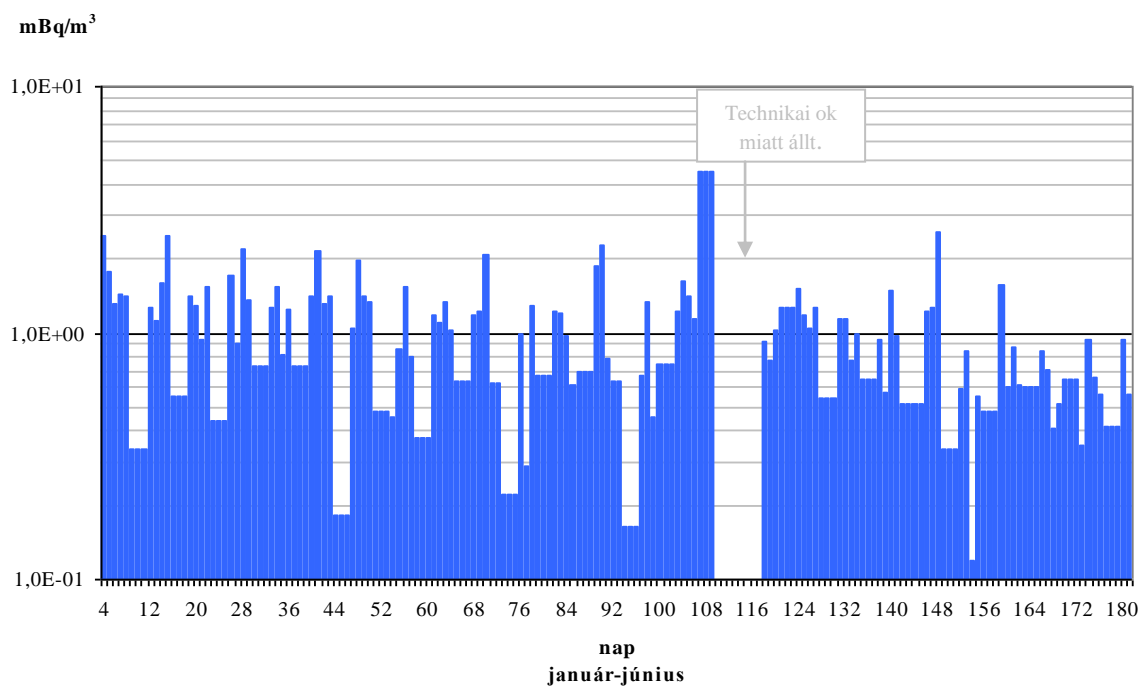
1. ábra. Szélirány és szélesebesség gyakoriság elosztása a KFKI telephelyén 2010-ban

2/a ábra. Az Izotóp Intézet Kft.  $^{125}\text{I}$  kibocsátása havi bontásban2/b ábra. Az Izotóp Intézet Kft.  $^{131}\text{I}$  kibocsátása heti bontásban

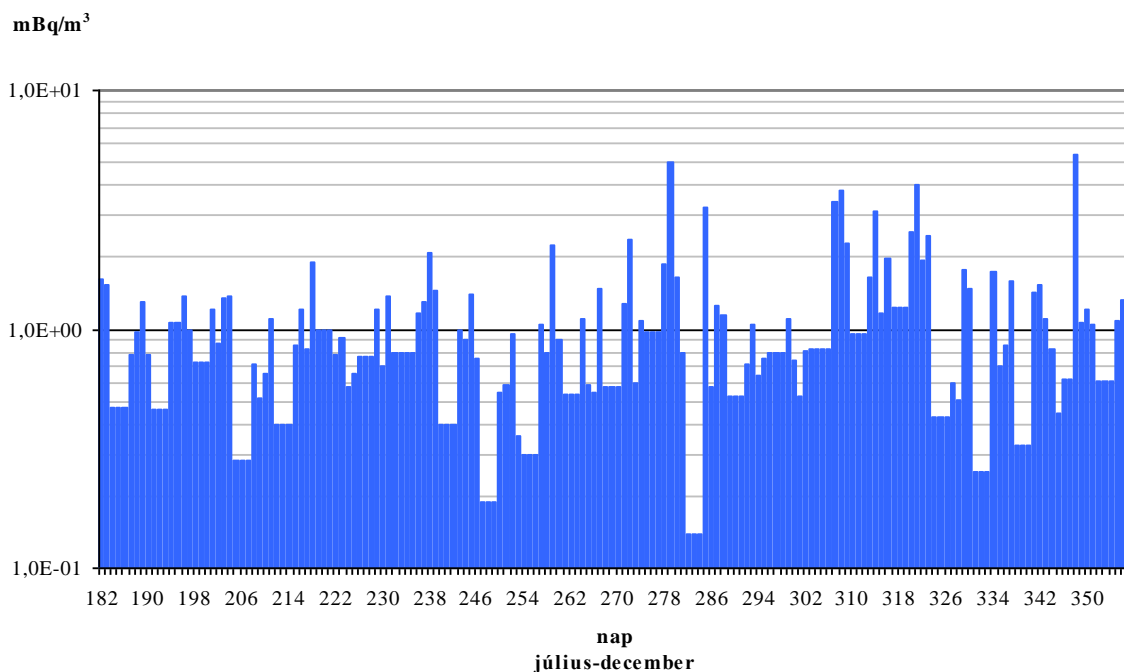
43/69



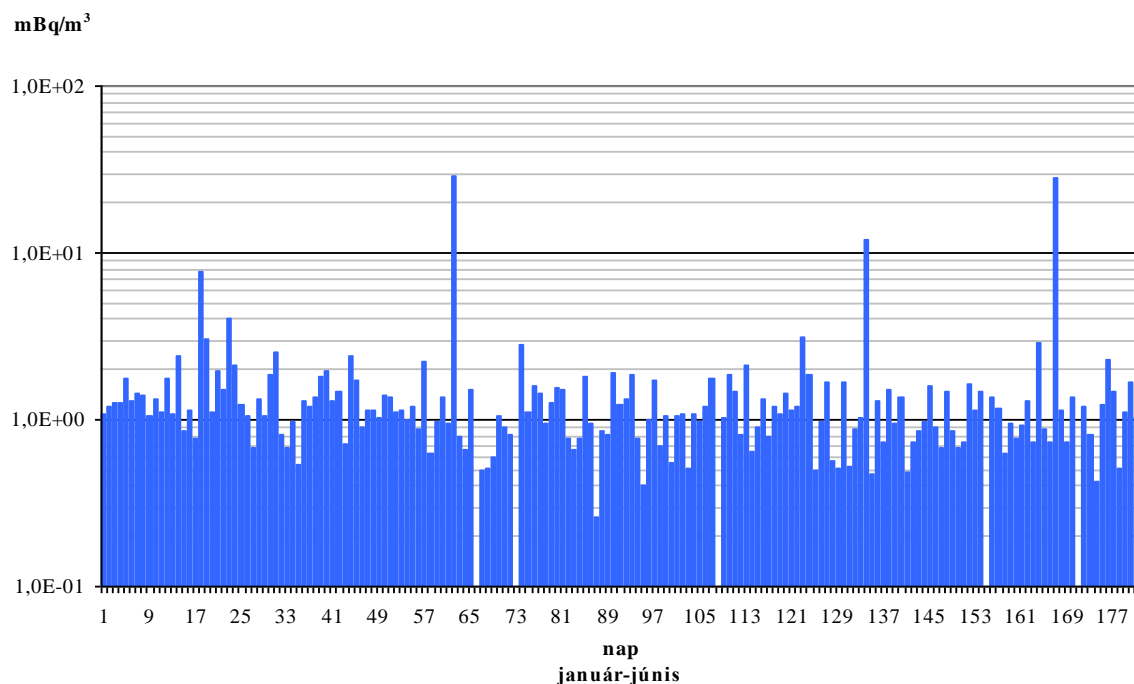
3. ábra. A levegő radioaeroszol összbéta heti átlagos aktivitás-koncentrációja 2010-ben az 1. állomáson (a kimutatási határ 0,1 mBq/m<sup>3</sup>).



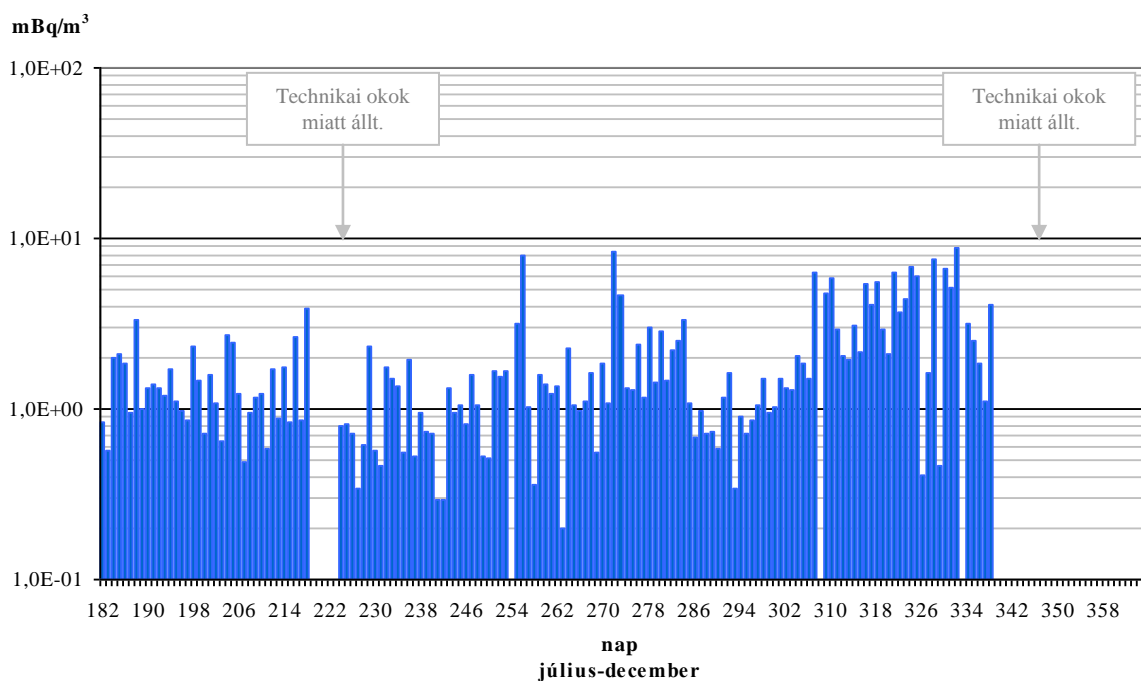
4/a ábra. A levegő radioaeroszol napi átlagos összbeta aktivitás-koncentrációjának alakulása a 2. állomáson.  
(2010. I. félév, a kimutatási határ 0,1 mBq/m<sup>3</sup>)



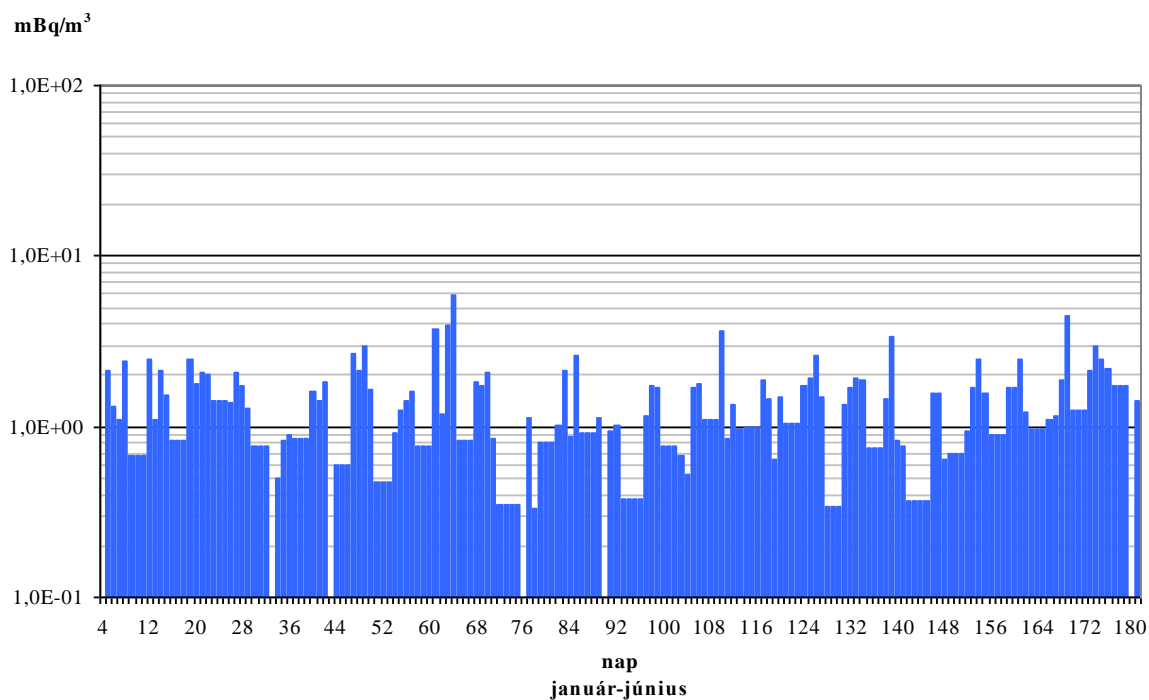
4/b ábra. A levegő radioaeroszol napi átlagos összbeta aktivitás-koncentrációjának alakulása a 2. állomáson.  
(2010. II. félév, a kimutatási határ 0,1 mBq/m<sup>3</sup>)



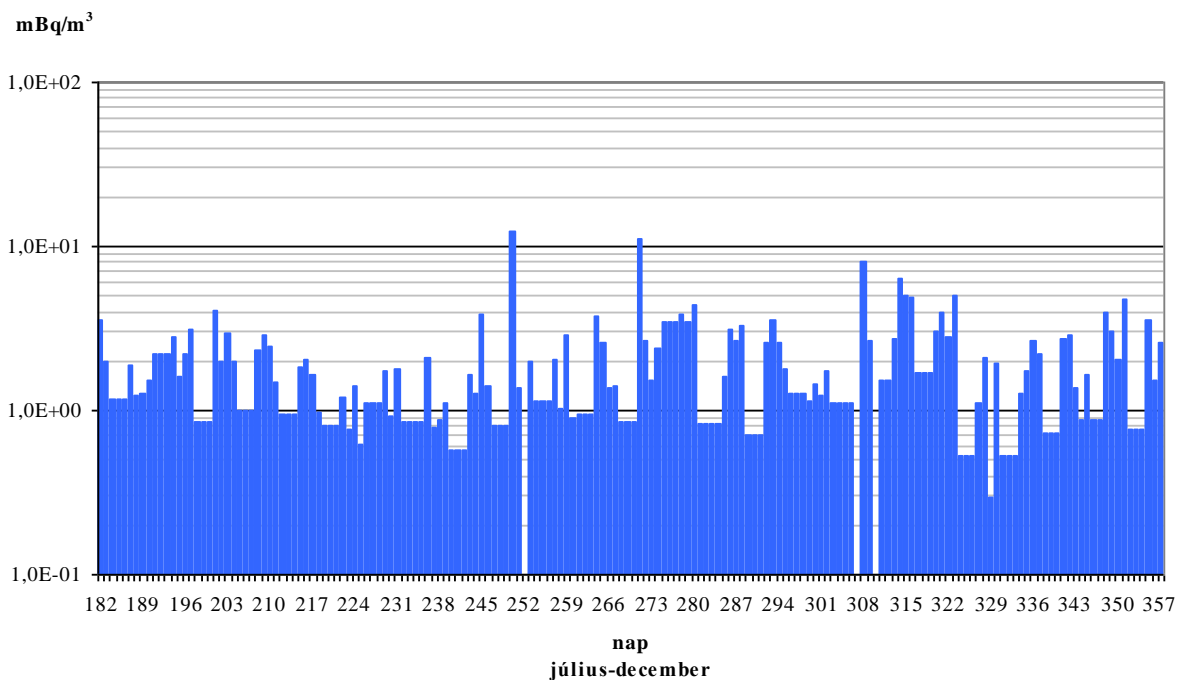
5/a ábra. A levegő radioaeroszol napi átlagos összbeta aktivitás-koncentrációjának alakulása az 5. állomáson.  
(2010. I. félév, a kimutatási határ 0,1 mBq/m<sup>3</sup>)



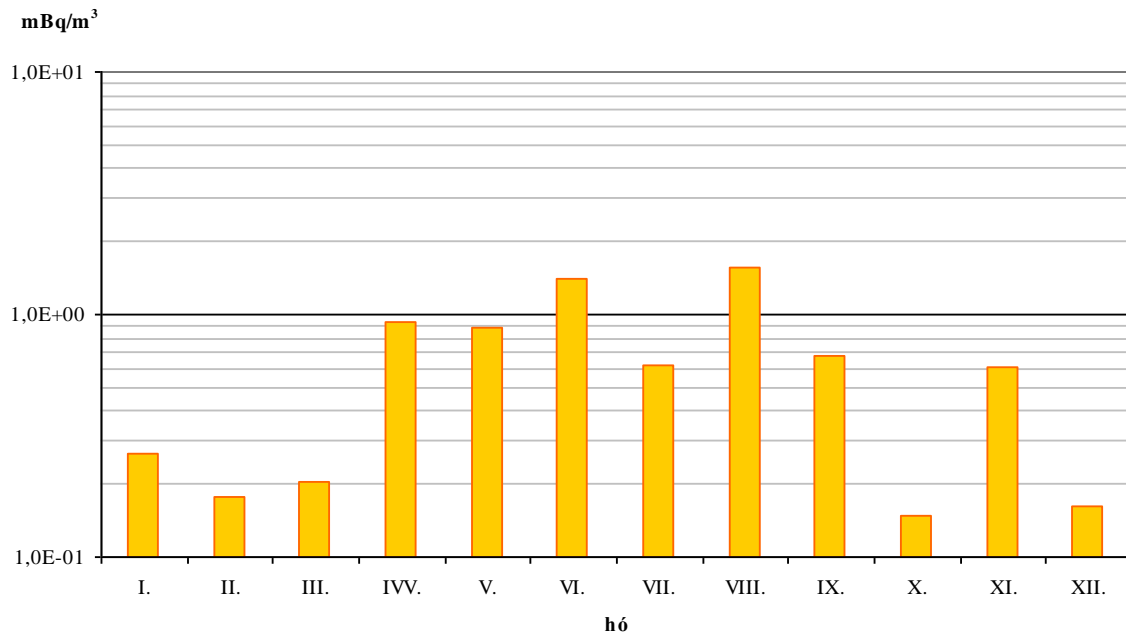
5/b ábra. A levegő radioaeroszol napi átlagos összbeta aktivitás-koncentrációjának alakulása az 5. állomáson.  
(2010. II. félév, a kimutatási határ 0,1 mBq/m<sup>3</sup>)



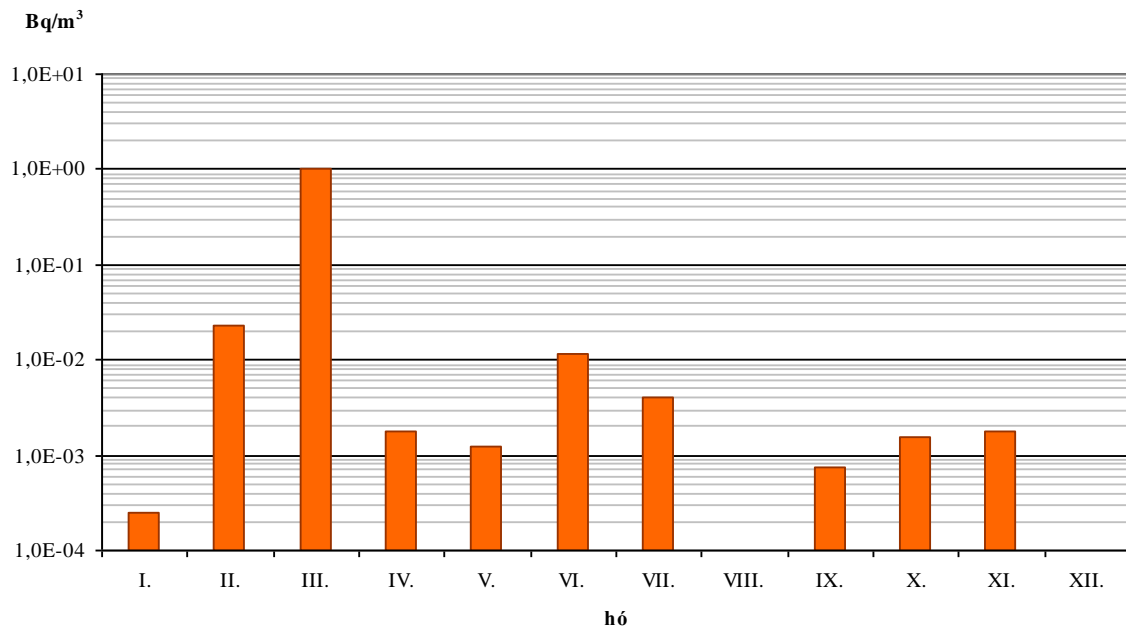
6/a ábra. A levegő radioaeroszol napi átlagos összbeta aktivitás-koncentrációjának alakulása a 6. állomáson.  
(2010. I. félév, a kimutatási határ 0,1 mBq/m<sup>3</sup>)



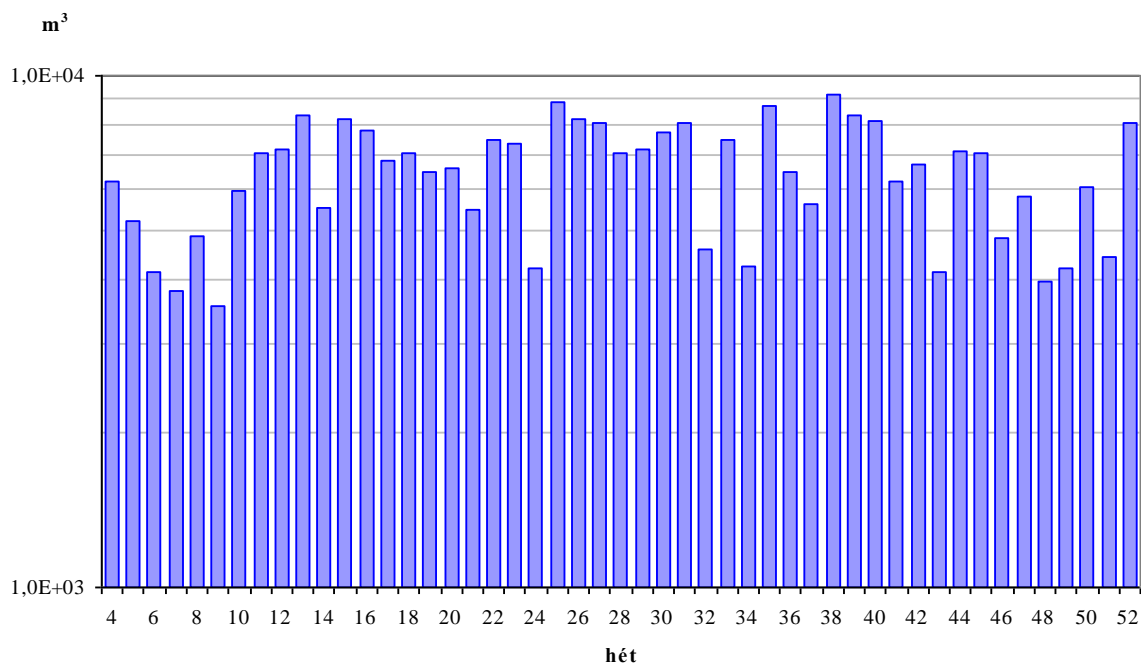
6/b ábra. A levegő radioaeroszol napi átlagos összbeta aktivitás-koncentrációjának alakulása a 6. állomáson.  
(2010. II. félév, a kimutatási határ 0,1 mBq/m<sup>3</sup>)



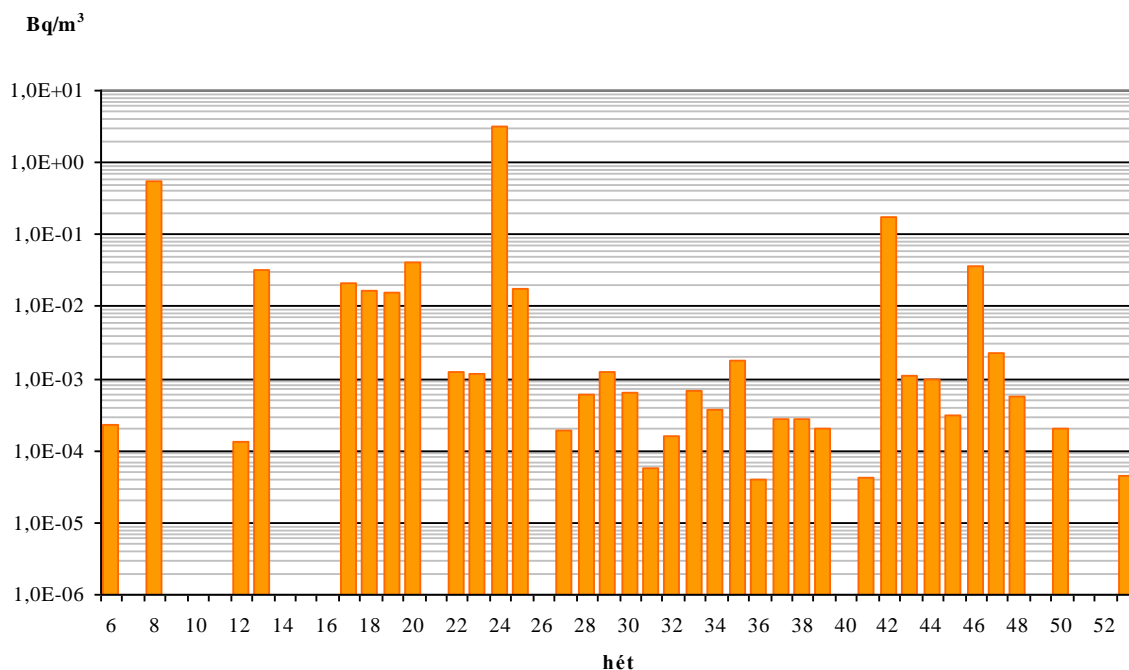
7/a ábra. A levegő radio-jódgőz (elemi) havi átlagos összbéta aktivitás-koncentrációjának alakulása 2010-ban a 6. állomáson (kimutatási határ 0,1 mBq/m<sup>3</sup>).



7/b ábra. A levegő <sup>131</sup>I (szerves jódgőz) havi átlagos aktivitás koncentrációja 2010-ban a 6. állomáson.

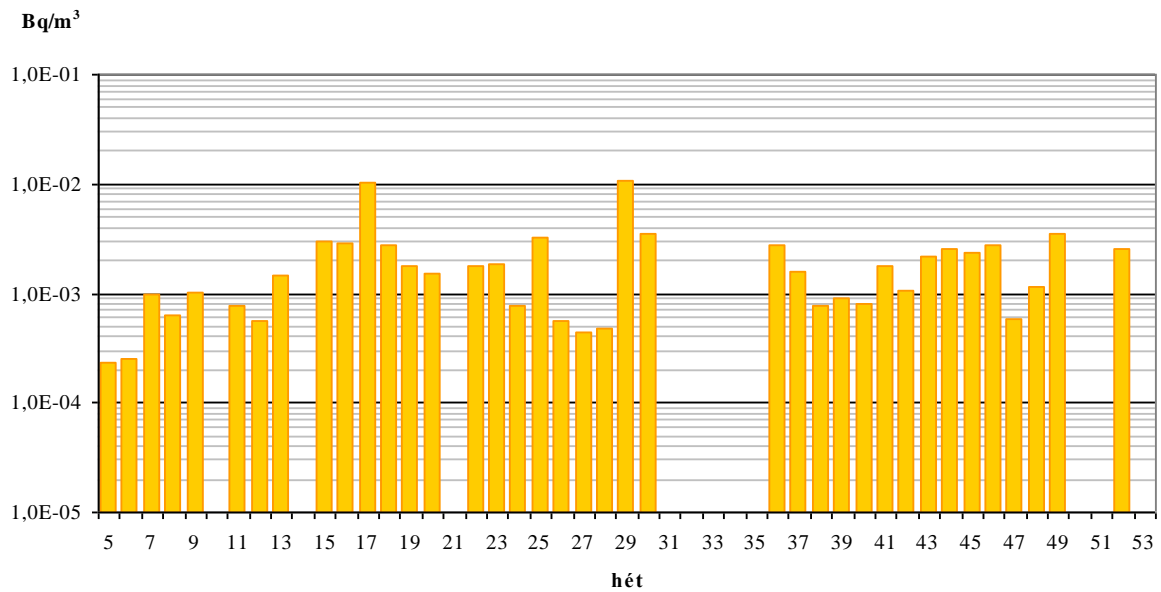


8/a ábra. Referencia állomás légforgalmi adatainak heti eloszlása a 2010. évben

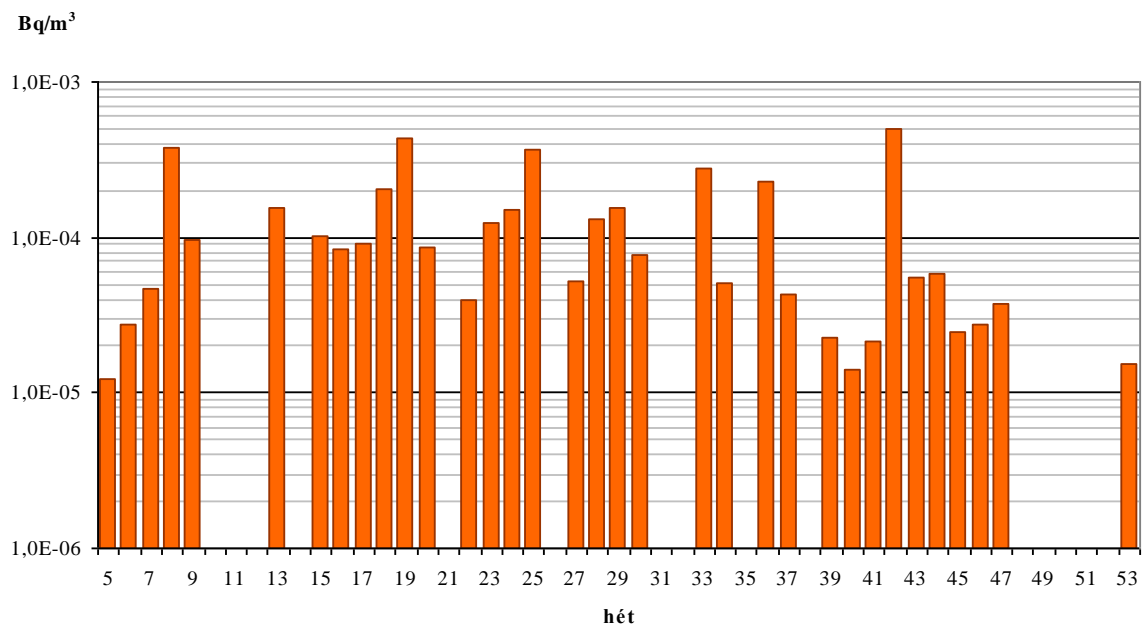


8/b ábra. A levegő  $^{131}\text{I}$  (elemi + szerves fázis) tartalma *szénszűrős nagytérfogatú* (~5.000 m³/hét) mintavételezéssel a referencia állomáson (a kimutatási határ 20  $\mu\text{Bq}/\text{m}^3$ )

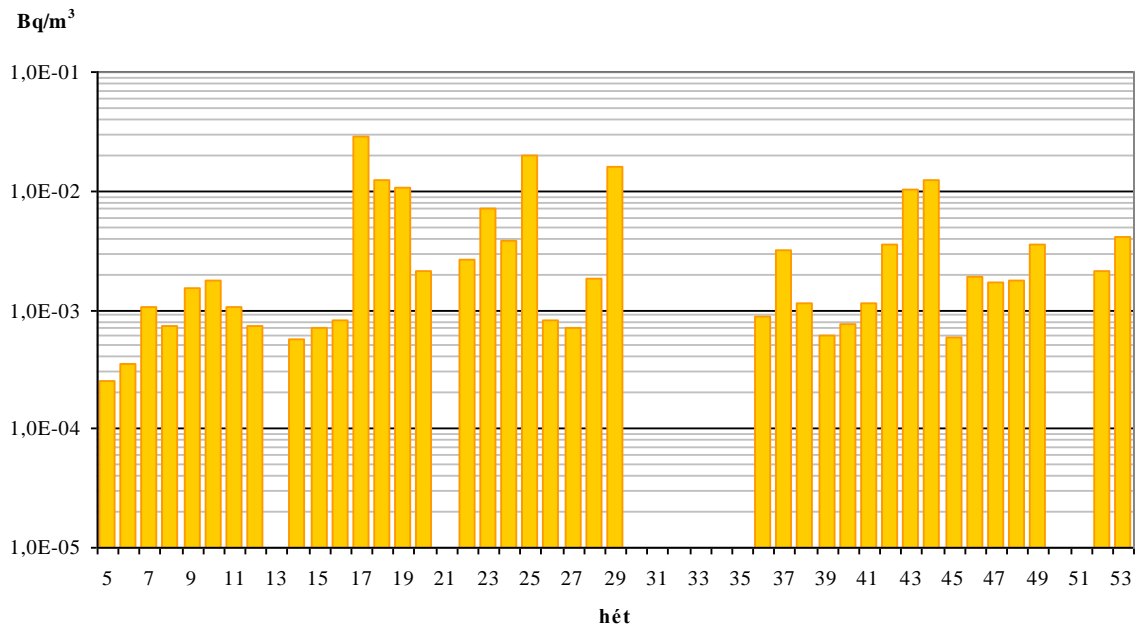




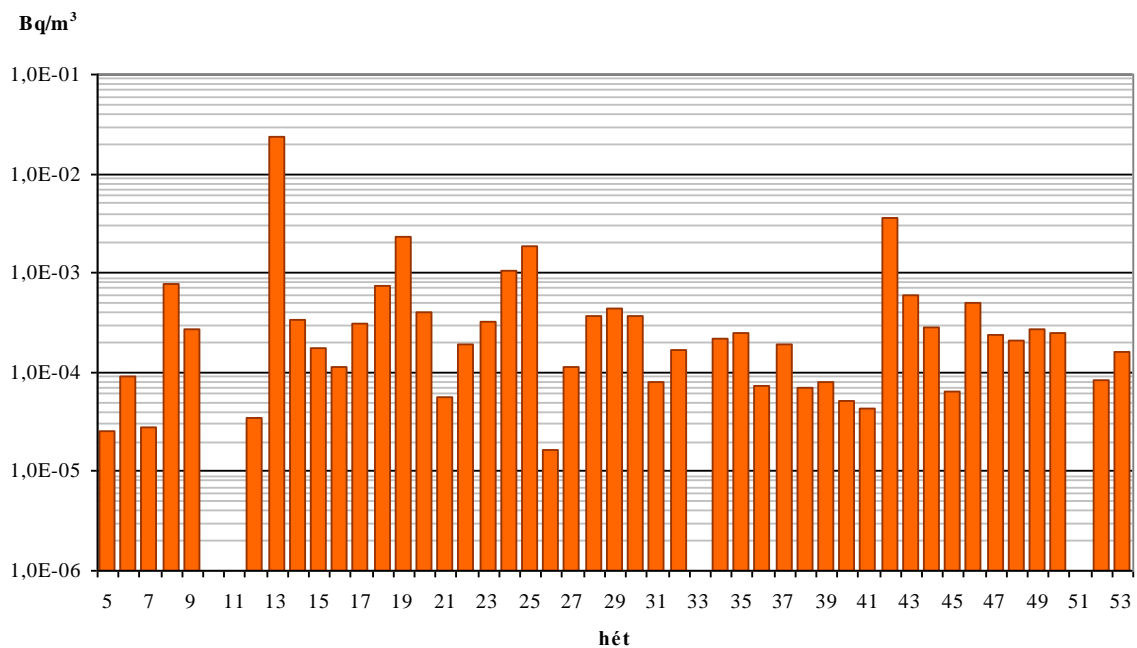
8/c ábra. A levegő  $^{125}\text{I}$  (aeroszol) tartalma *aeroszol szűrőn történő nagytérfogatú* (~5.000 m<sup>3</sup>/hét) mintavételezéssel a referencia állomáson (a kimutatási határ 15  $\mu\text{Bq}/\text{m}^3$ )



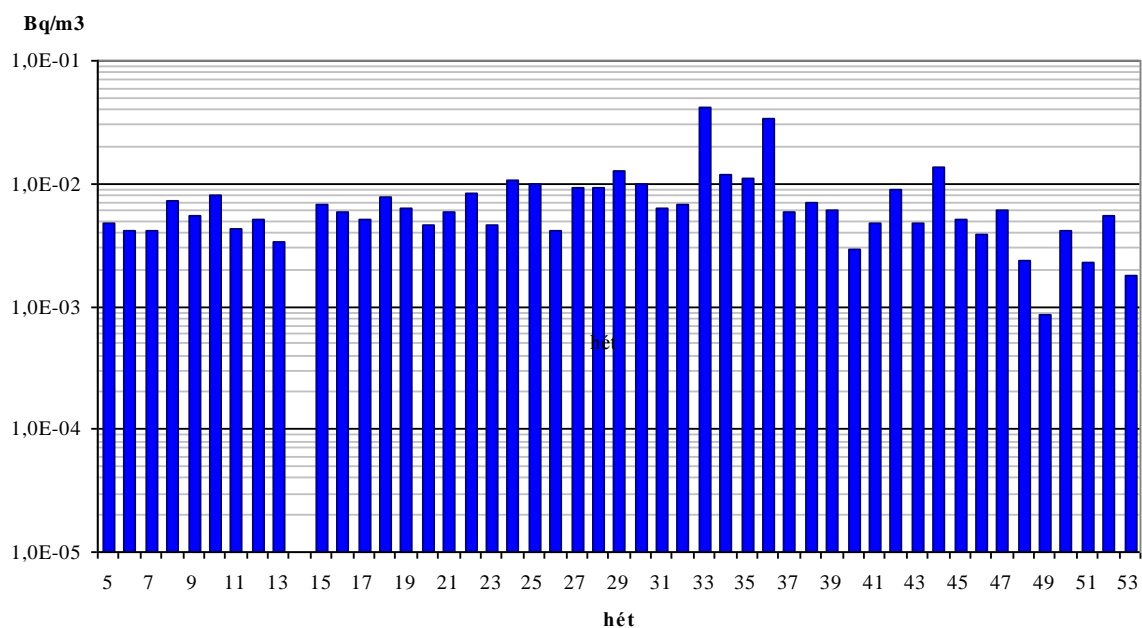
8/d ábra. A levegő  $^{131}\text{I}$  (aeroszol) tartalma *aeroszol szűrőn történő nagytérfogatú* (~5.000 m<sup>3</sup>/hét) mintavételezéssel a referencia állomáson (a kimutatási határ 10  $\mu\text{Bq}/\text{m}^3$ )



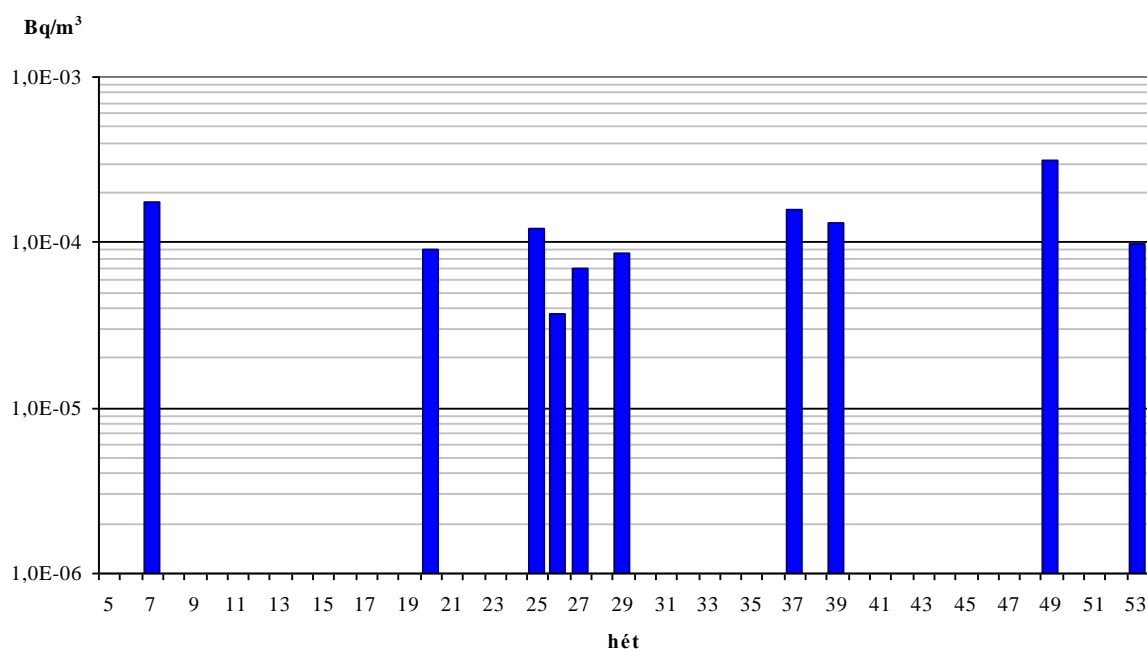
8/e ábra. A levegő  $^{125}\text{I}$  tartalma *elemi jód szűrőn történő nagytérfogatú* (~5.000 m<sup>3</sup>/hét) mintavételezéssel a referencia állomáson (a kimutatási határ 15  $\mu\text{Bq}/\text{m}^3$ )



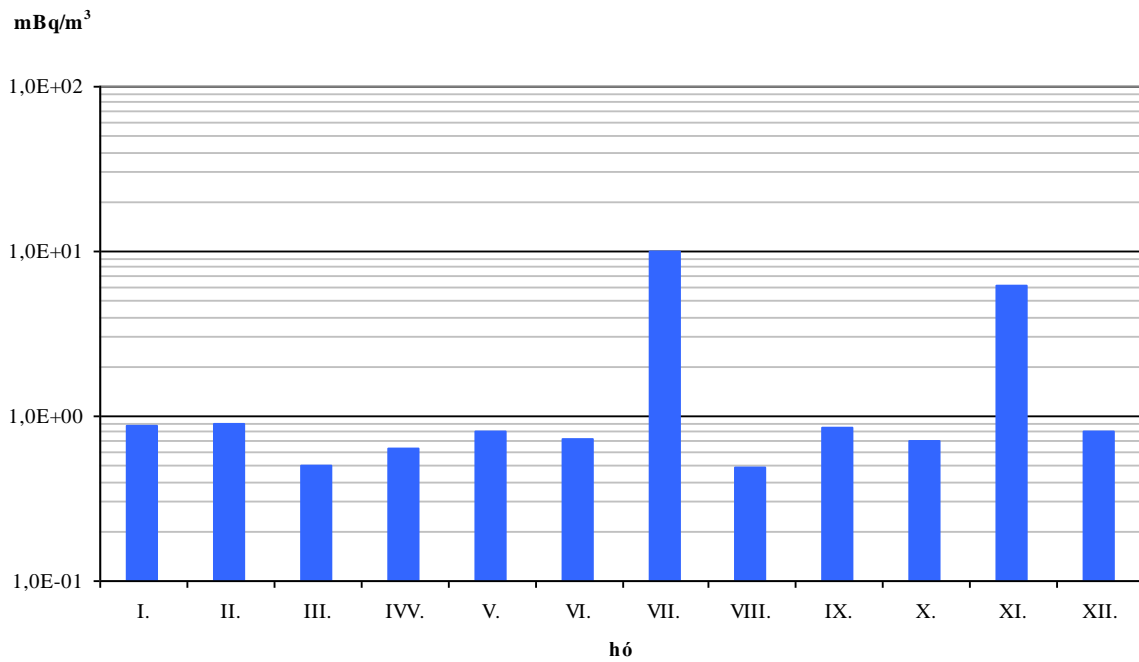
8/f ábra. A levegő  $^{131}\text{I}$  tartalma *elemi jód szűrőn történő nagytérfogatú* (~5.000 m<sup>3</sup>/hét) mintavételezéssel a referencia állomáson (a kimutatási határ 10  $\mu\text{Bq}/\text{m}^3$ )



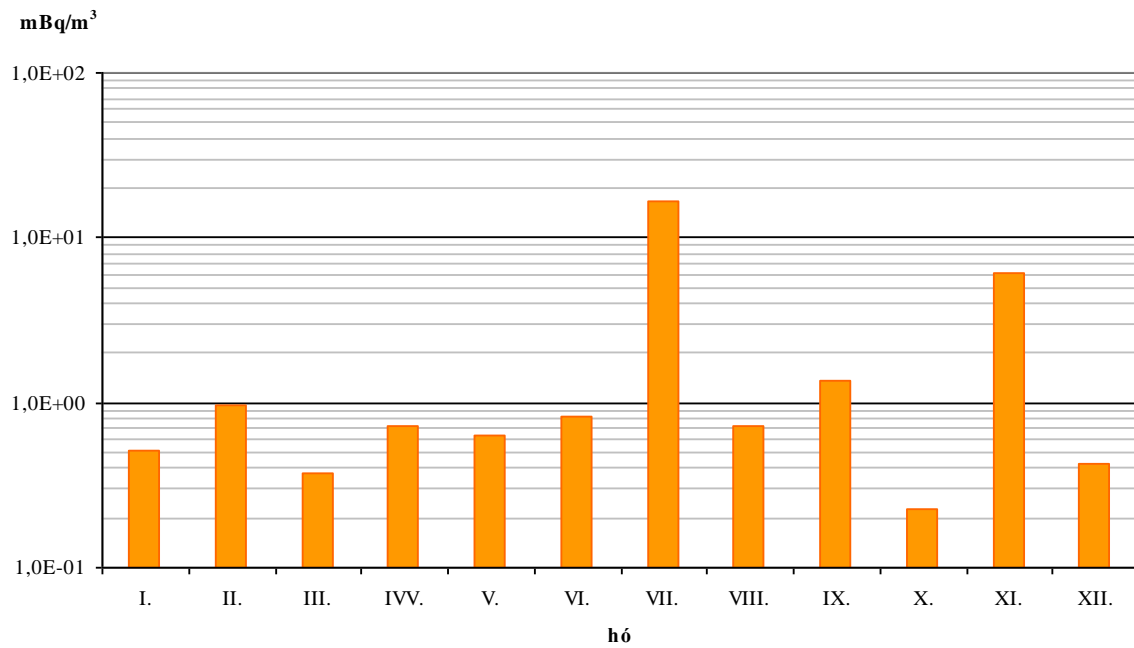
8/g ábra. A levegő  ${}^7\text{Be}$  tartalma *aeroszol szűrőn történő nagytérfogatú* (~5.000 m<sup>3</sup>/hét) mintavételezéssel a referencia állomáson (a kimutatási határ 59  $\mu\text{Bq}/\text{m}^3$ ) (Világátlag: 3-10 mBq/m<sup>3</sup>)



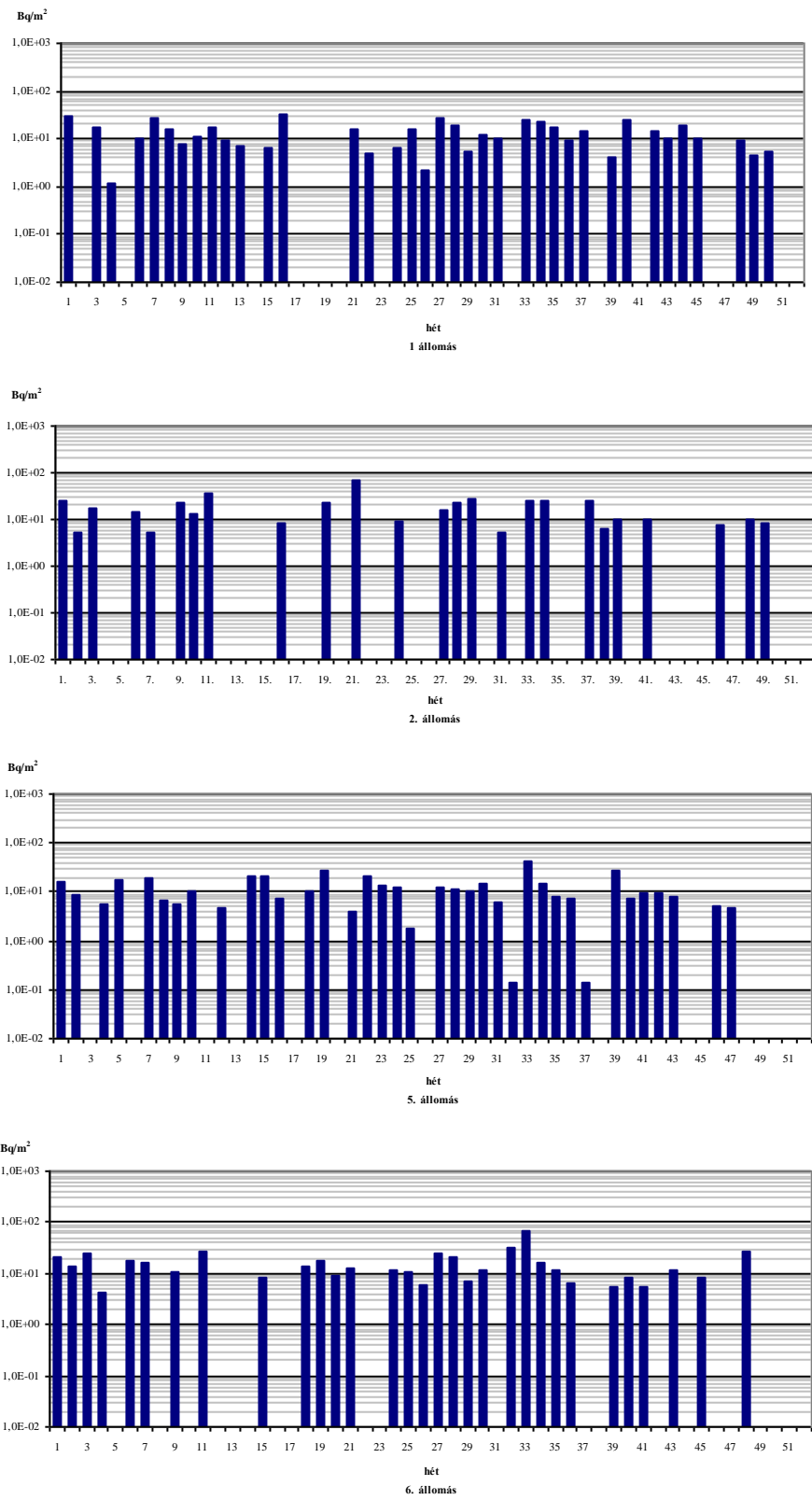
8/h ábra. A levegő  ${}^7\text{Be}$  tartalma *elemi jód szűrőn történő nagytérfogatú* (~5.000 m<sup>3</sup>/hét) mintavételezéssel a referencia állomáson (a kimutatási határ 59  $\mu\text{Bq}/\text{m}^3$ ) (Világátlag: 3-10 mBq/m<sup>3</sup>)



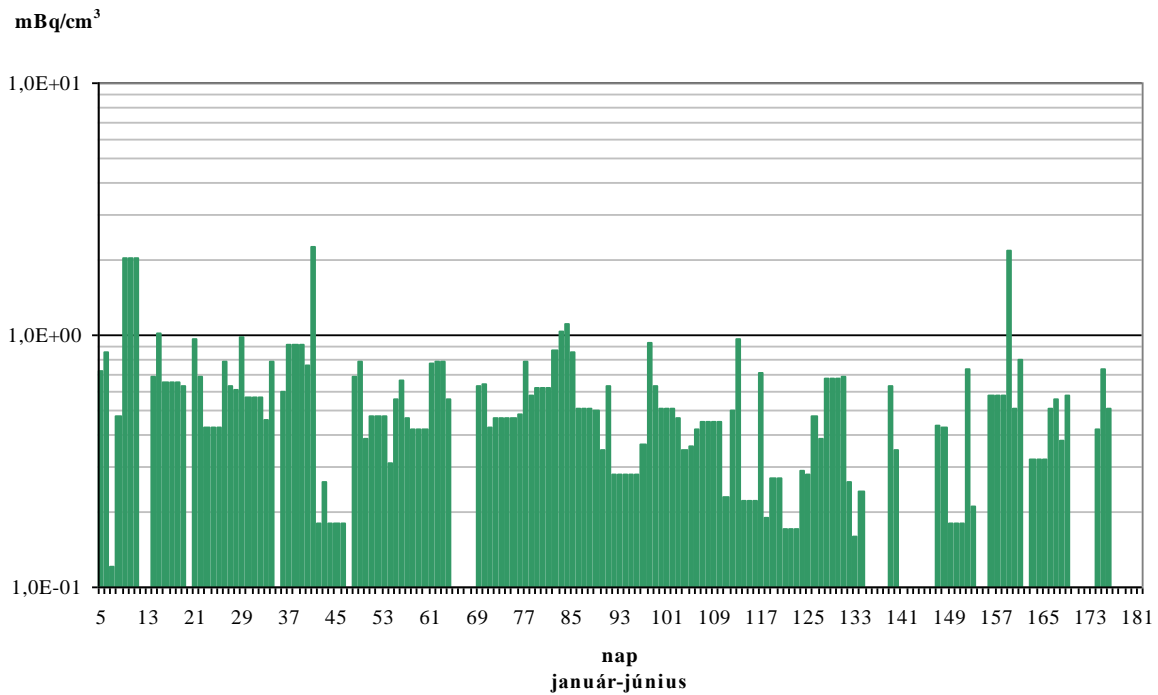
9/a ábra. A levegő radioaeroszol összbeta havi átlagos aktivitás-koncentrációja 2010-ben a referencia állomáson



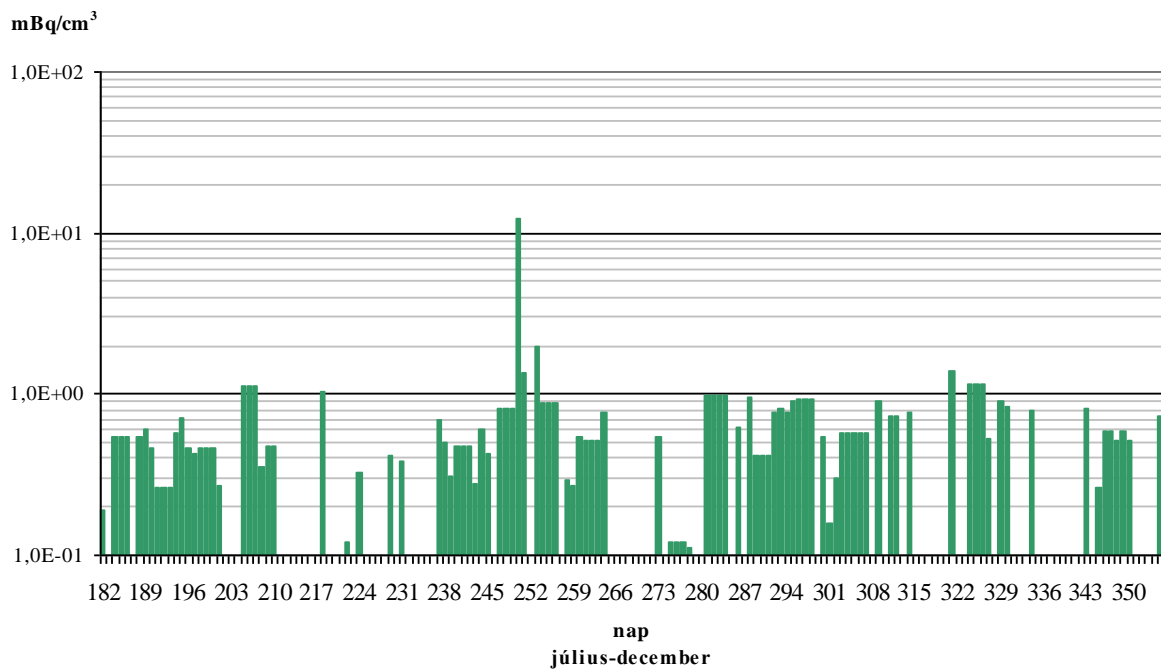
9/b ábra. A levegő radio jódgőz összbeta havi átlagos aktivitás-koncentrációja 2010-ben a referencia állomáson



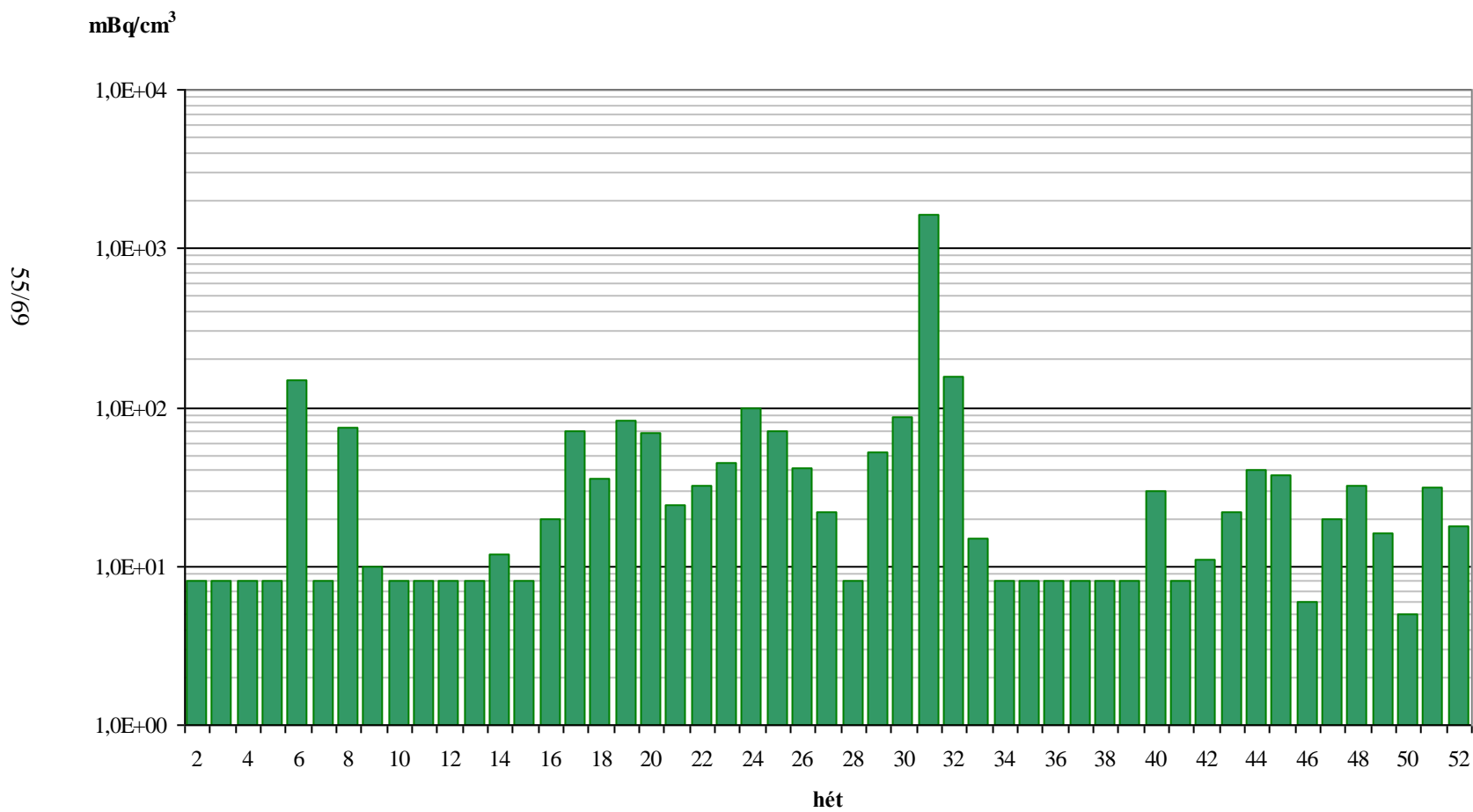
10. ábra. A légköri kihullásból (Fall-out) eredő <sup>7</sup>Be az 1., 2., 5. és 6. állomáson (kimutatási határ 2,00 Bq/m<sup>2</sup>)



11/a ábra. A telephelyről eltávozó szennyvíz napi átlagos összbéta aktivitás-koncentrációjának alakulása (2010. I. félév, a kimutatási határ 0,1 mBq/cm<sup>3</sup>)

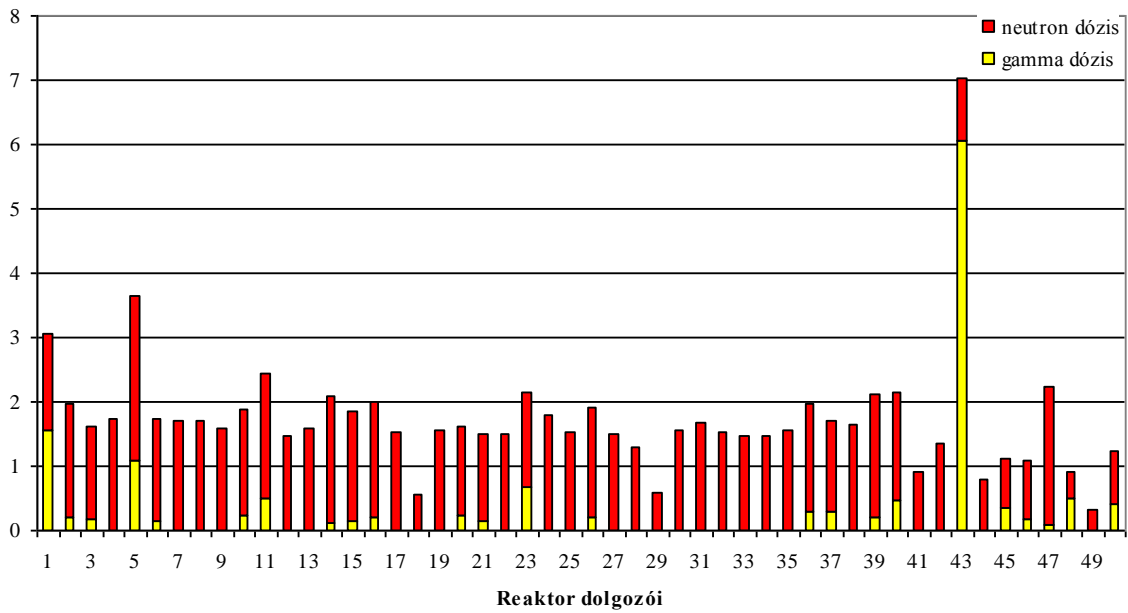


11/b ábra. A telephelyről eltávozó szennyvíz napi átlagos összbéta aktivitás-koncentrációjának alakulása (2010. II. félév, a kimutatási határ 0,1 mBq/cm<sup>3</sup>)



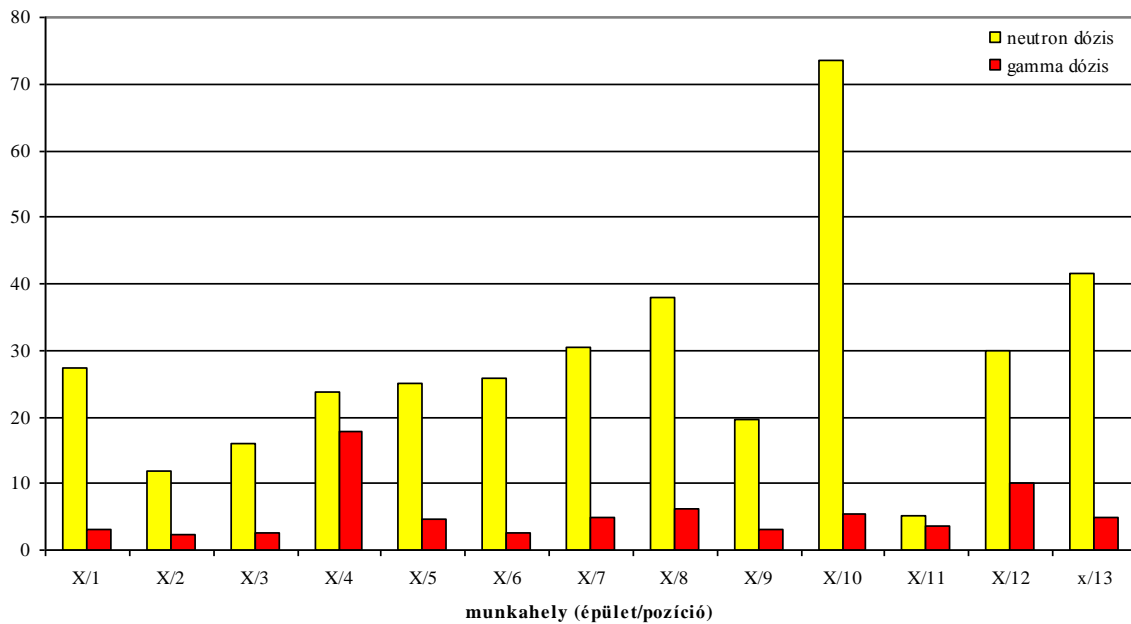
12. ábra. A telephelyről eltávozó szennyvíz trícium aktivitás-koncentrációja 2010-ben (kimutatási határ: 8 mBq/cm<sup>3</sup>)

Hp(10) mSv/év



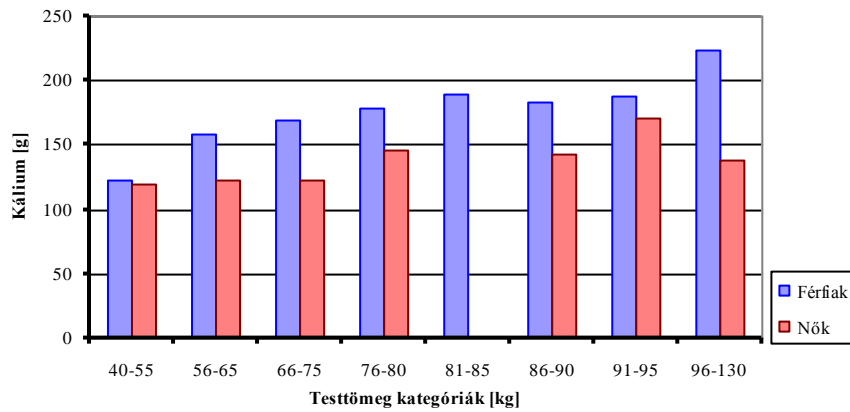
13/a ábra. Személyi TL doziméterekkel (TLD-7776/8814) mért éves dózisadatok a Reaktorüzem dolgozóinál

Hp(10) mSv/év

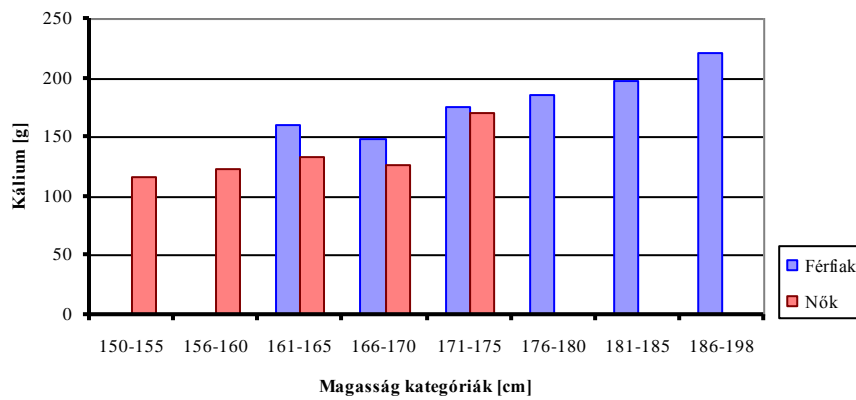


13/b ábra. Munkahelyi TL doziméterekkel (TLD-7776/8814) mért éves dózisadatok a reaktor csarnokban

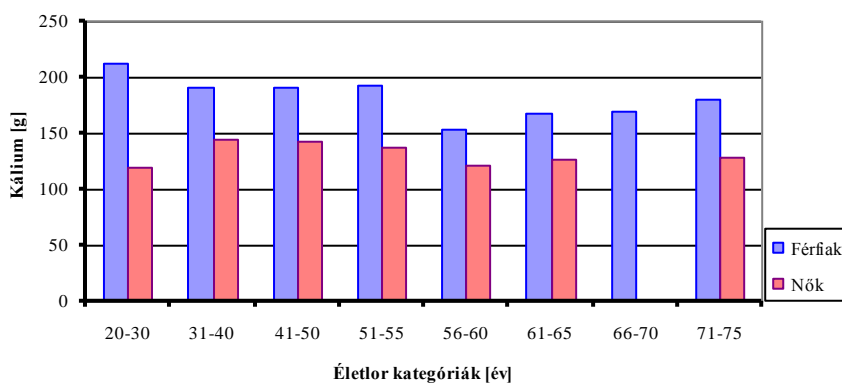




14/a ábra. A kálium átlagmennyisége a testtömeg függvényében



14/b ábra. A kálium átlagmennyisége a testmagasság függvényében



14/c ábra. A kálium átlagmennyisége az életkor függvényében

